

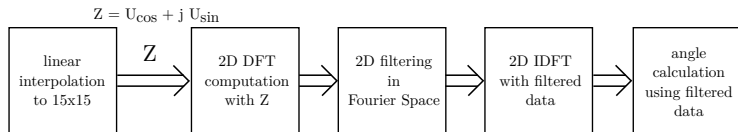
Chipimplementation einer zweidimensionalen Fouriertransformation für die Auswertung eines Sensor-Arrays

Bachelorkolloquium

Thomas Lattmann

30. April 2018

- Einleitung
- Grundlagen
- Vergleich von Ansätzen zur Berechnung der DFT
- Vergleich verschiedener Größen von Twiddlefaktormatrizen
- Optimierung der 8x8-DFT Twiddlefaktormatrix
- Benötigte Takte für Berechnungen
- Entwickeln der 2D-DFT aus der 1D-DFT
- Testumgebung
- Zeitabschätzung der Implementation bezogen auf realen Anwendungsfall
- Erweiterung zur IDFT
- Zusammenfassung
- Ausblick



Quelle: [Frequency_filtering_and_stray_field_compensation_using_2D-DFT_algorithm.pdf](#), K.-R. Riemschneider + T. Schütze

- 350 μm Prozess
- Array von Magnetsensoren
- Sensoren, Signalverarbeitung & Ausgabe des digitalen Nutzsignals auf einem ASIC

- Interpretation von Dualzahlen
- Komplexe Multiplikation
- Matrixmultiplikation
- DFT
- 2D-DFT
- IDFT

Mögliche Arten sind:

- positive Ganzzahldarstellung (a)
- Darstellung im Einerkomplement (b)
- Darstellung im Zweierkomplement (c)
- voreichenbehaftete Festkommazahlen (SQ) mit und ohne Vorkommaanteil (d)

1001011010100₂

$$4096 + 512 + 128 + 64 + 16 + 4 = 4820_{10} \quad (a)$$

$$-(512 + 128 + 64 + 16 + 4) = -724_{10} \quad (b)$$

$$-4096 + 512 + 128 + 64 + 16 + 4 = -3372_{10} \quad (c)$$

$$-4 + 0,5 + 0,125 + 0,062 + 0,015625 + 0,00390625 = -3.29296875_{10} \quad \text{in S2Q10 (d)}$$

Komplexe Multiplikation sind 4 einfache Multiplikationen und 2 Additionen.

$$\begin{aligned}e + jf &= (a + jb) \cdot (c + jd) \\&= a \cdot c + j(a \cdot d) + j(b \cdot c) + j^2(b \cdot d) \\&= a \cdot c - b \cdot d + j(a \cdot d + b \cdot c)\end{aligned}$$

Wenn einer der beiden Multiplikatoren keinen Imaginärteil haben, reduziert sich das zu

$$\begin{aligned}e + jf &= a \cdot (c + jd) \\&= a \cdot c + j(a \cdot d)\end{aligned}$$

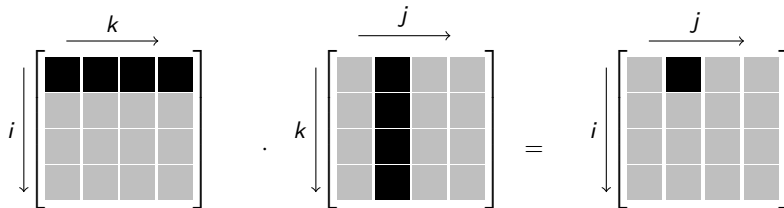


Abbildung: Veranschaulichung der Matrixmultiplikation.

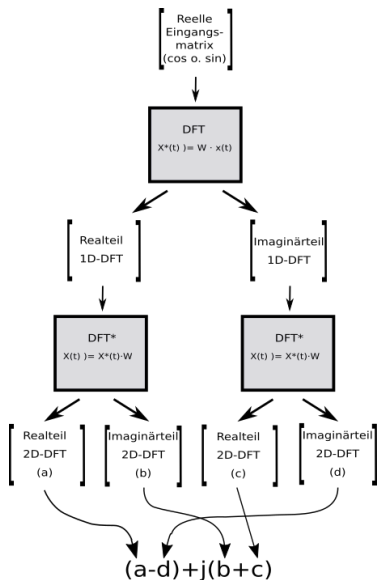
$$X^*[m] = \frac{1}{N} \cdot \sum_{n=0}^{N-1} x[n] \cdot e^{-j\frac{2\pi mn}{N}}$$

$$x[n] = \frac{1}{N} \sum_{m=0}^{N-1} X^*[m] \cdot e^{+j\frac{2\pi mn}{N}}$$

$$X^* = W \cdot x$$

$$X = W \cdot X^* \cdot W$$

- optimierte Matrixmultiplikation mit reellen Eingangswerten
- optimierte Matrixmultiplikation mit komplexen Eingangswerten
- Fast Fouriertransformation
- variable Matrixmultiplikation

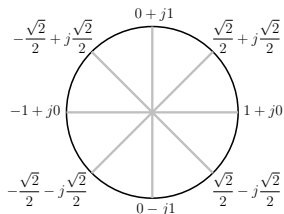


- Gegenüberstellung verschiedener Größen von Twiddlefaktormatrizen
- Optimieren der 8×8 -DFT
- Konstantenmultiplikation
- Benötigte Takte
- Zustandsfolge
- Entwickeln der 2D-DFT auf Basis der 1D-DFT

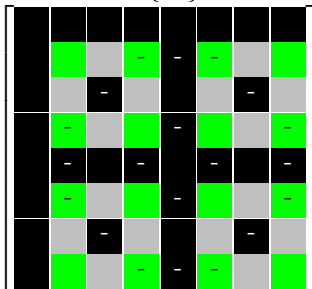
Gegenüberstellung verschiedener Größen von DFT-Twiddlefaktormatrizen

N	8	9	12	15	16
$N \times N$	64	81	144	225	256
trivial \Re	48	45	128	81	128
nicht triv. \Re	16	36	16	144	128
triv. \Im	48	21	96	45	128
nicht triv. \Im	16	60	48	180	128
\sum triv.	96	66	224	126	256
\sum nicht triv.	32	96	64	324	256
Anzahl verschiedener nicht trivialer Werte	1	7	1	13	3
Verhältnis \sum trivial / \sum nicht trivial	3	0,6875	3,5	0,3889	1

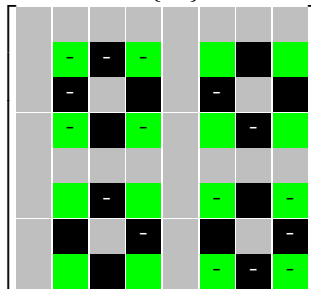
Optimierung der 8x8-DFT



$Re\{W\}$



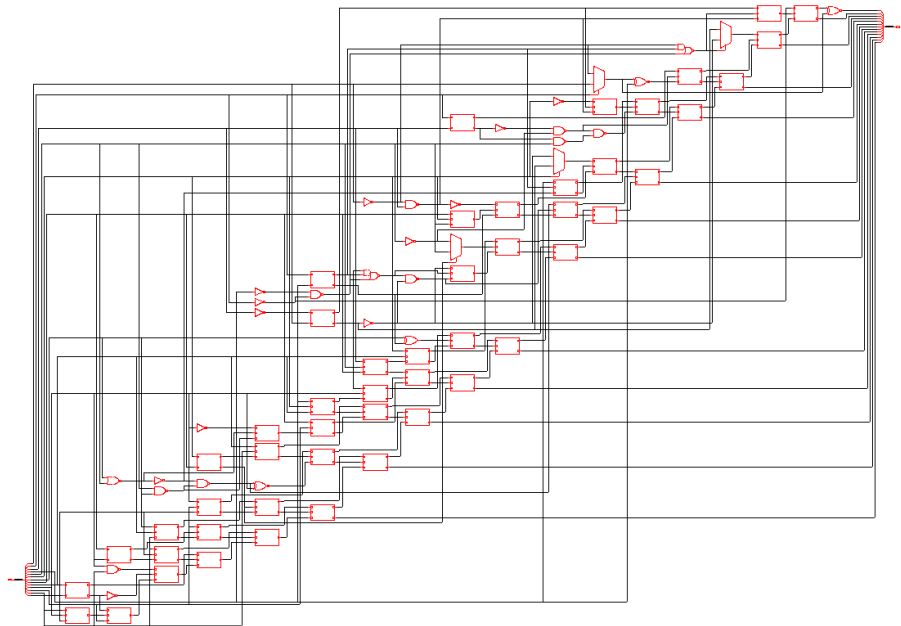
$Im\{W\}$



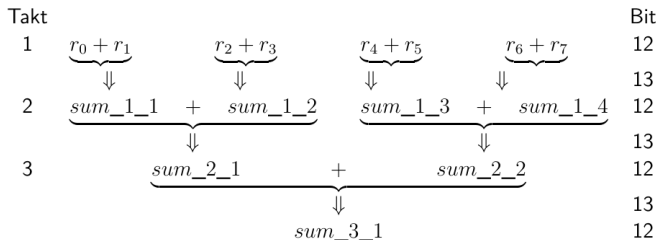
Legende: $\blacksquare = 1$ $\blacksquare = -1$ $\square = 0$ $\blacksquare = \sqrt{2}/2$ $\blacksquare = -\sqrt{2}/2$

Methode	Anzahl reeller Multiplikationen
komplexe Eingangswerte	128
reelle Eingangswerte	64
ladbare Matrixmultiplikation	4096
FFT	128

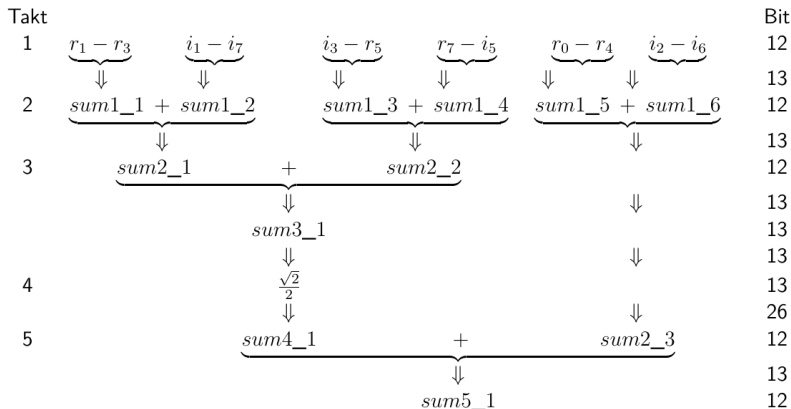
Konstantenmultiplikation mit $\frac{\sqrt{2}}{2} \simeq 0.70703125 = 0001011010100_2$



1. Spalte: $r_0 + r_1 + r_2 + r_3 + r_4 + r_5 + r_6 + r_7$



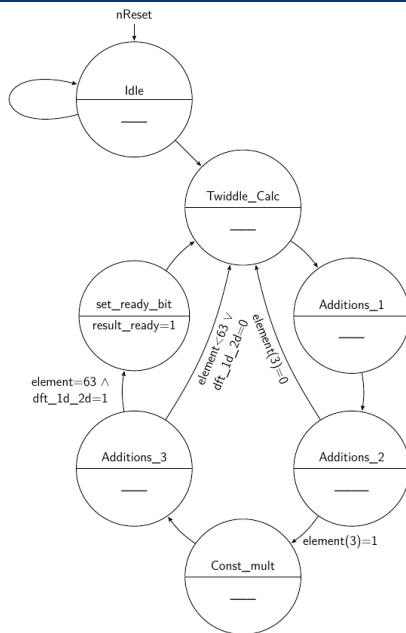
2. Spalte: $r_1 - r_3 + i_1 - i_7 + i_3 - r_5 + r_7 - i_5 + r_0 - r_4 + i_2 - i_6$



Summe der Takte für die Berechnung der 2D-DFT

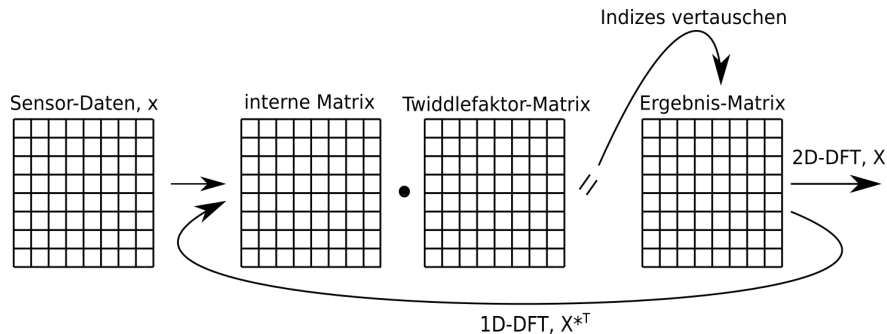
Zeile	Additionen pro Element (N)	Takte pro Element ($\log_2(N)$)	Takte für Multiplikation	Summe der Takte
1	8	3	0	3
2	12	3,6	1	5
3	8	3	0	3
4	12	3,6	1	5
5	8	3	0	3
6	12	3,6	1	5
7	8	3	0	3
8	12	3,6	1	5

Summe der Takte ist $(3 + 5) \cdot 4 \cdot 8 \cdot 2 = 512$



$$\begin{aligned} X &= W \cdot x \cdot W \\ &= \left((x \cdot W)^T \cdot W \right)^T \\ &= \left(X^{*T} \cdot W \right)^T \end{aligned}$$

Alternative Schreibweise der 2D-DFT als Matrixmultiplikation



- Testumgebung
- Zeitabschätzung
- Chipimplementation

- Simulation mit NC Sim und SimVision
 - ▶ nützlich für Teilfunktionen
 - ▶ Betrachtung einzelner Signalverläufe
- Automatisierung durch Shell-Skript
 - ▶ Simulation mit NC Sim und TCL-Skript
 - ▶ Berechnung mittels Matlab
 - ▶ Vergleich

$$RPM = 8000 \text{ min}^{-1}$$

$$\frac{RPM}{60} = 133, \bar{3} \text{ sec}^{-1}$$

$$\curvearrowright 1 \text{ Umdrehung} = \frac{1}{133, \bar{3} \text{ sec}^{-1}}$$

$$= 7,5 \cdot 10^{-3} \text{ sec}$$

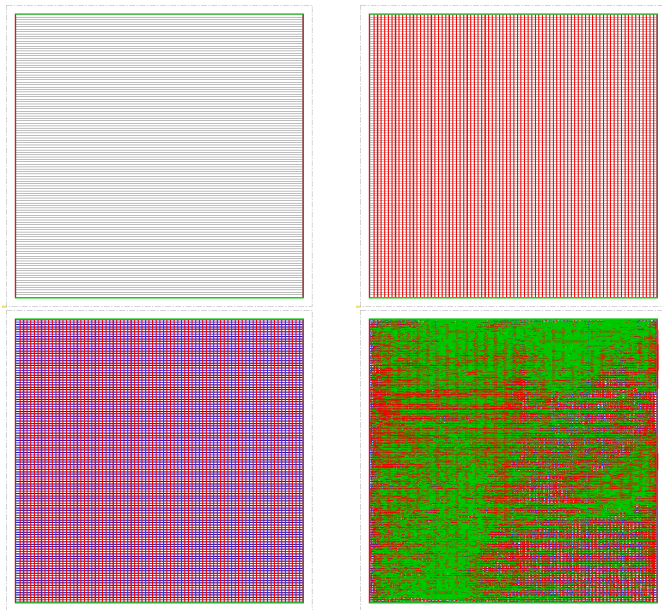
$$1^\circ \hat{=} \frac{7,5 \cdot 10^{-3} \text{ sec}}{360}$$

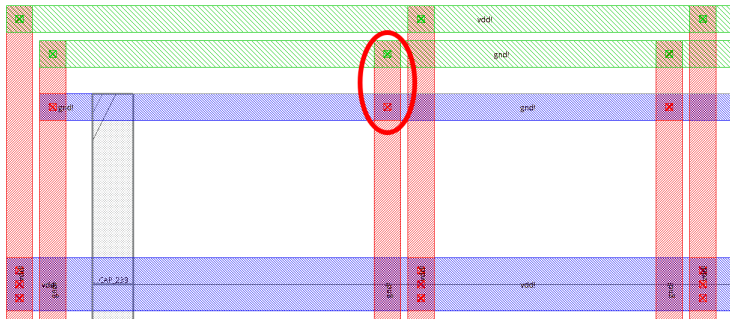
$$1^\circ \hat{=} 20,83 \cdot 10^{-6} \text{ sec}$$

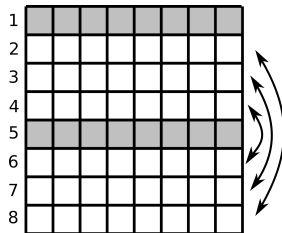
$$100 \cdot 10^6 \text{ Hz} = 10 \cdot 10^{-9} \text{ sec}$$

$$\frac{20,83 \cdot 10^{-6} \text{ sec}}{10 \cdot 10^{-9} \text{ sec}} = 2083 \text{ Takte}$$

Evaluation: Chipimplementation







- DFT als 8×8 hat sich als effizienteste erwiesen
- Optimierung der Multiplikationen mit der Twiddlefaktormatrix
- Kritischer Pfad scheint Konstantenmultiplikation zu sein
- Berechnung der 1D- und 2D-DFT mit selber Einheit
- Benötigte Takte liegen im realistischen Rahmen
- IDFT kann durch geringe Ergänzungen im Quelltext berechnet werden
- Wertvolle Grundlagen für die Implementation der 15×15 2D-DFT

- Reduzierung des kritischen Pfades
 - ▶ auf zwei Gatter aufteilen
 - ▶ Wallace-Tree verwenden
- 15x15 mit ähnlich vielen Takten